

# 中- $\beta$ 尺度云团造成不同 降水强度的对比分析

李玉兰 杜长萱

(中国科学院大气物理研究所, 北京 100080)

## 提 要

本文对发生在长江中游地区两个中- $\beta$  尺度云团引起不同强度的降水, 进行了对比分析, 弄清它们之间的异同, 进一步探讨了中- $\beta$  尺度对流云团产生强降水的条件, 从而为难以预报小范围的暴雨提供一些物理依据。

关键词: 中- $\beta$  尺度; 云团; 降水。

## 一、引言

中- $\beta$  尺度云团是一种尺度小, 生命史短的对流云团, 在卫星云图上常常见到, 在适当的环境条件下可以造成强降水。如 1977 年 8 月 21 日上海历史上罕见的特大暴雨就是由于东风扰动中的尺度很小的对流云团西移而引起的<sup>[1]</sup>。1980 年 10 月 10 日发生在安徽省安庆一次小范围的暴雨也是由尺度很小的对流云团造成的<sup>[2]</sup>。是不是这种尺度很小的对流云团都能造成强降水呢? 本文挑选了两个中- $\beta$  尺度云团引起不同强度的降水进行了对比分析, 来回答这个问题, 以加深对这类云团造成强降水的认识。

## 二、中- $\beta$ 尺度云团与降水

1985 年 7 月 19 日 17:00—20 日 8:00 (北京时, 以下同) 一次云团发生、发展的过程, 简称  $\beta_A$  例。1987 年 7 月 19 日 18:00—20 日 2:00 的云团发生、发展过程, 简称  $\beta_B$  例。 $\beta_A$  云团产生在湖北省宜昌之西兴山、恩施、来凤等地。 $\beta_B$  云团产生在宜昌之东, 远安、荆门、江陵、石首等地。分析了逐时增强显示红外云图和半小时一次的 GMS 红外云图, 比较这两个云团发生、发展的演变过程。由于云图篇幅多, 这里只给出  $\beta_A$  和  $\beta_B$  达到强盛期的云图 (图 1a 和 1b)。它们的演变过程如下:  $\beta_A$  云团经过对流单体生成→合并 (带状) →分裂 (孤立云团) →加强 (如图 1a) →减弱 5 个阶段, 全过程经历了 16 个小时。 $\beta_B$  云团经过对流单体生成→合并 (云团嵌在云带内, 如图 1b) →加强→减弱 4 个阶段, 全过程经历了 9 个小时。云团生成后稳定少动。

表 1 给出这两个云团的一般特征, 从表 1' 看到, 它们的生命史均很短 (6—7 小

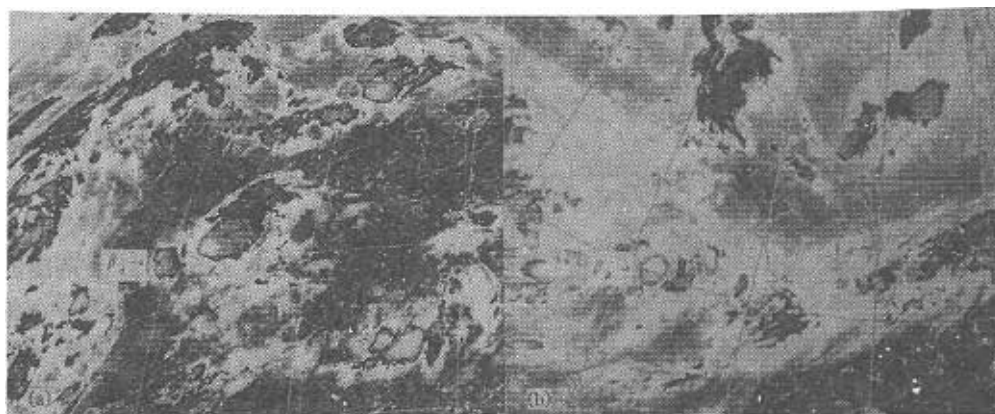


图1 (a) 1985年7月19日21:00(世界时)云图;  
(b) 1987年7月19日15:00(世界时)红外增强显示云图

时), 其水平尺度不到 250 km, 最强时刻的面积  $6 \times 10^4$  km 左右 (即指红外增强显示云图上的云团低于  $-33^{\circ}\text{C}$  以下的云区范围)。云顶最低温度低于  $-74^{\circ}\text{C}$ 。为了清楚起见, 图 2 给出  $\beta_A$  和  $\beta_B$  两个云团低于  $-33^{\circ}\text{C}$  以下云区范围素描图, 分别以虚线和波线表示。图 2 还给出云团最强时刻的 6 小时降水量的分布。从表 1 和图 2 可以清楚地看到, 上述两个云团无论是降水强度, 还是降水范围差别均很大。 $\beta_A$  云团降水范围大, 6 小时大于 10mm 的降水范围 200 多 km, 且强度强, 6 小时最大降水量达到 106.2mm, 1 小时达到 66.1mm, 出现在恩施。暴雨中心偏于云团的西南侧, 也就是偏于云顶温度梯度大的一侧 (参看图 1a), 与文献[3]的结果是一致的。 $\beta_B$  云团不但降水范围小, 而且强度弱, 6 小时大于 10mm 的降水区方圆不到 100km, 6 小时降水量为 29.5mm, 1 小时降水量为 28.1mm, 出现在远安, 降水偏于云团的西北侧。由此看出二者降水差异确实很大。

表1 云团的一般特征

	$\beta_A$	$\beta_B$
云团发生发展→减弱全过程	1985年7月19日17:00 —20日8:00	1987年7月19日18:00 —20日2:00
生 命 史 (小时)	7	6
最 强 阶 段	20日5:00—8:00	19日23:00—20日1:00
最 强 阶 段 面 积 ( $\text{km}^2$ )	60500	55900
水 平 尺 度 (km)	275	242
云 形	孤立云团, 呈圆形中间为两块深对流云区	圆形, 嵌在云带内中间为一块深对流云区
雨 情	mm/h	66.1
	mm/6h	106.2
		28.1
		29.5

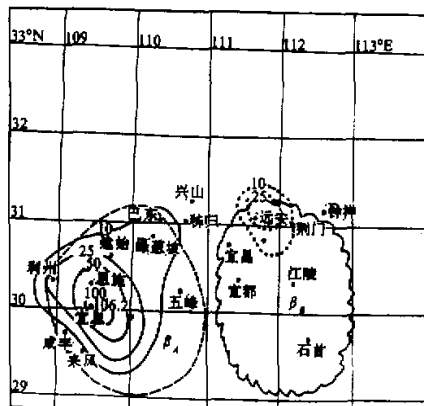


图 2  $\beta_A$  (虚线) 和  $\beta_B$  (波线) 云团  
低于-33°C 云区范围  
细实线为  $\beta_A$  20 日 2:00—8:00 等雨量线;  
圆点线为  $\beta_B$  19 日 20:00—20 日 2:00 等雨量线

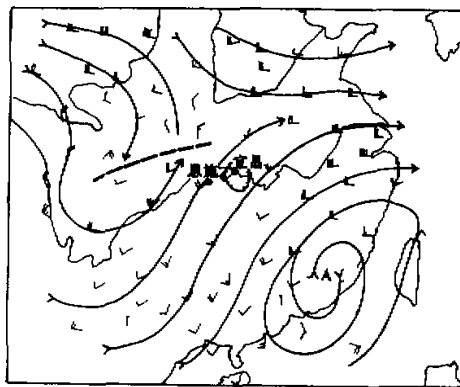


图 3 1987 年 7 月 19 日 20:00, 500 hPa 流场  
虚线为切变线或槽线, 波线为云团位置

( $1.1 \times 10^{-9} \text{ s}^{-1}$ ) 的动力作用, 可以使高空辐散, 低空辐合加强, 有利于上升运动的增大, 触发  $\beta_A$  云团产生强降水。这种中空系统, 在高层和低层反映均不明显的情况下, 在有利于的环境条件下, 它能触发起强降水, 这一现象是值得深入研究的。

### 三、中空系统的触发作用

上述两个中- $\beta$  尺度云团同样都发生在对流层低层 (850—700 hPa) 一致的偏南风气流里, 在天气图上那里没有系统与之相配合 (图略), 大范围的西南气流从中南半岛途经西南地区一直伸展到长江中游, 850—700 hPa 高度上最大风速 9—11 m/s。在对流层高层为青藏高压东侧的偏北气流所控制, 高空急流轴距云团产生地 7—10 纬距。我们从计算云团所处地区的 200—850 hPa 风的垂直切变来看, 二者相差不大, 均小于  $2 \times 10^{-3} \text{ s}^{-1}$ 。然而在对流层中层 (500 hPa) 形势有着明显的差异。首先看  $\beta_B$  例, 如图 3 所示。从图中看出, 在长江中上游以北地区 (33°N 附近) 有一近东—西走向的切变线, 在切变线南侧, 副热带高压西北侧主要是西南气流控制, 可见,  $\beta_B$  云团在它的初始阶段处在比较深厚的西南气流里, 对云团的产生是有利的。而  $\beta_A$  云团 (图 4) 在 500 hPa 高度上副热带高压主体主要在海上, 长江中游以南地区, 110°E 附近有一短波槽过境, 这个短波槽在前 12 小时 (即 19 日 8:00) 位于 107.5°E, 30—40°N, 东移南压而影响暴雨区的。从涡度, 散度垂直结构来看 (图略), 正涡度 ( $4.3 \times 10^{-5} \text{ s}^{-1}$ ), 辐合 ( $3.7 \times 10^{-5} \text{ s}^{-1}$ ) 在 500 hPa 高度上表现最强。在暴雨产生前, 再加上正涡度平流

### 四、浅薄冷空气的触发作用

从我们计算的 19 日 8:00—20 日 8:00 的 3 个时刻在 1000—500 hPa 各层高度上的

24小时变温和水平温度平流中发现，在 $\beta_A$ 例中，在700 hPa以下，特别是在850 hPa上有明显的冷空气活动。19日8:00（即在强降水出现前）1000—850 hPa高度上为正变温，暖平流。19日20:00和20日8:00则变成负温度，冷舌从东北方向伸展到宜昌一带，20日8:00在850 hPa上宜昌出现了 $-4.2^{\circ}\text{C}$ 的变温，冷平流平均达到 $-1.4 \times 10^{-4} \text{ s}^{-1}$ ，这股冷空气一方面与恩施之南的暖湿空气交绥形成不稳定的热力条件<sup>[4]</sup>，另一方面由于冷空气的抬升作用，触发云团发展，有利暴雨加强。比较两个云团区的平均的垂直运动的垂直分布（图5）。可以清楚的看出，在 $\beta_A$ 例中，由于中空槽的动力作用和低层冷空气的抬升作用，构成了如图5上垂直结构的特征，上升运动出现了两个大值，分别位于500 hPa（平均为 $-1.6 \times 10^{-3} \text{ hPa/s}$ ）和800 hPa上（ $-1.0 \times 10^{-3} \text{ hPa/s}$ ）。由此进一步说明了中空系统和浅层冷空气的活动对云团产生强降水的重要性是不可忽视的。一旦冷空气继续向西南方向伸展到恩施以南时，暴雨结束。而 $\beta_B$ 云团从19日8:00—20日8:00均无冷空气活动，冷平流亦不清楚，上升运动且弱，不可能产生强降水。

## 五、水汽条件

两个中- $\beta$ 尺度云团所处的对流层低层的环境场是相类似的。计算出来的水汽通量轴线与低空偏南气流最大风速轴线是相一致的。然而，输送带与云团的位置各有差异。在 $\beta_A$ 例中，低空由西南—东北走向的输送带伸展到长江中游恩施附近（参看图6中的粗虚线）。水汽输送量最强出现在700 hPa高度上，达到 $23.6 \times 10^{-3} \text{ ghPa}^{-1} \cdot \text{cm}^{-1} \cdot \text{s}^{-1}$ ，位于 $\beta_A$ 云团的上风方向。而由散度项( $q \nabla \cdot \bar{v}$ )引起的水汽变化最明显的特征是 $\beta_A$ 云团与辐合区对应关系很好，中心最大值达 $-2.7 \times 10^{-8} \text{ g} \cdot \text{hPa}^{-1} \cdot \text{cm}^{-2} \cdot \text{s}^{-1}$ 。毫无疑问， $\beta_A$ 云团有很丰富的水汽条件，同时这种有利的水汽条件一直持续到

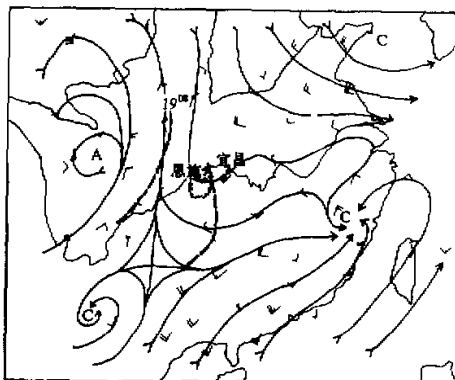


图4 1985年7月19日20:00, 500 hPa流场

说明同图3

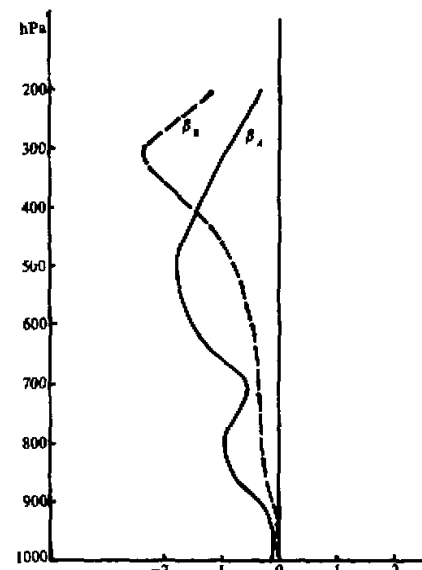


图5 暴雨云团垂直运动的垂直分布

实线为 $\beta_A$  (1985年7月19日20:00),  
虚线为 $\beta_B$  (1987年7月19日20:00)

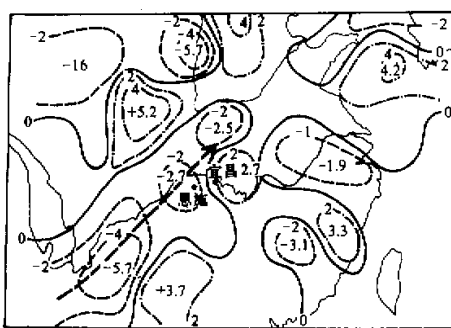


图 6 1985 年 7 月 19 日 20:00, 700 hPa  
散度项引起的水汽变化  
粗虚线为水汽输送最大轴线

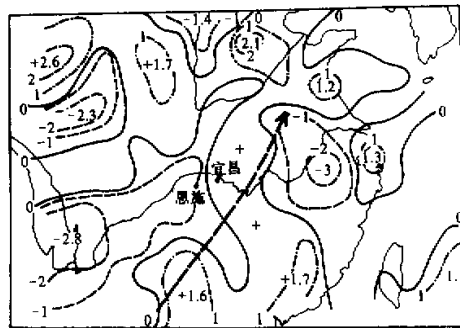


图 7 1987 年 7 月 19 日 20:00, 700 hPa  
散度项引起的水汽变化  
其它说明同图 6

20 日 8:00 以后。在  $\beta_B$  例中水汽输送轴线偏于云团的左侧（参看图 7 中的粗虚线），水汽输送很小，而且在宜昌附近出现水汽辐散。另外我们将两个云团所处的环境范围内的整层水汽通量散度进行 6 个格点（格距为 150 km）平均。 $\beta_A$  和  $\beta_B$  分别为  $-34.7 \times 10^{-7} \text{ g} \cdot \text{cm}^{-2} \cdot \text{s}^{-1}$  和  $-7.8 \times 10^{-7} \text{ g} \cdot \text{cm}^{-2} \cdot \text{s}^{-1}$ ，有着明显的差异。由此看出  $\beta_B$  云团水汽源是不足的，不可能产生强降水。

## 六、结 论

通过以上两个云团的对比分析，有以下几点主要结论：

$\beta_A$  和  $\beta_B$  云团均同样发生、发展在对流层低层一致的西南风气流里，无低空急流及其它系统相伴，云团生命史短，尺度小，但它们产生降水的强度差异却很大，造成这种差异的主要原因：

(1) 两个中- $\beta$  尺度云团所处的中层环境条件不同。 $\beta_A$  云团受西来 500 hPa 短波槽的影响，在此高度上正涡度，辐合最强，并伴有正涡度平流，其作用使高空辐散和低空辐合加强，上升运动增大，是产生强降水的重要触发机制。 $\beta_B$  云团在 500 hPa 高度上仍处于西南气流里，并无这一触发条件。

(2)  $\beta_A$  云团有浅薄的冷空气入侵，提供了低空辐合抬升作用，并与西南暖湿气流的输送形成热力不稳定条件，二者共同作用对  $\beta_A$  云团强降水的产生是十分有利的。 $\beta_B$  云团亦无这种浅薄冷空气的触发作用。

(3)  $\beta_A$  云团处于水汽输送最大轴线上，既有持续不断的水汽输送，又有丰富的水汽辐合，水汽源充足。 $\beta_B$  云团处于水汽输送最大轴线的左侧，水汽输送量很小，水汽辐合条件也差，对强降水是不利的。

致 谢：杨艳霞同志参加本文计算和绘图等工作，特此致谢。

## 参 考 文 献

- [1] 蔡则怡、李玉兰, 1980, 1977年上海特大暴雨的初步分析, 暴雨及强对流天气的研究, 中国科学院大气物理所集刊, 第9号, 科学出版社, 60。
- [2] 李玉兰, 1985, 中低纬系统相互作用的云系特征在暴雨预报中的应用, 气象卫星资料分析应用文集, 气象出版社, 28。
- [3] Li Yulan et al., 1990, The research on the mesoscale convective complex (MCC) over the mainland of China, *Annual Report of Institute of Atmospheric Physics, Academia Sinica*, 9, No.1, 44-52.
- [4] 李玉兰等, 1990, 一次中- $\beta$ 尺度对流云团发生、发展的分析, 南京气象学院学报, 13, No.4, 549。

## A Comparison of Two Meso- $\beta$ Scale Convective Cloud Clusters with Different Intensities of Precipitation

Li Yulan and Du Changxuan

(Institute of Atmospheric Physics, Chinese Academy of Sciences, Beijing 100080)

### Abstract

The formation and development of the meso- $\beta$  scale convective cloud clusters resulting in rainfall with different intensities over the middle reaches of the Yangtze River are analysed. It is clear that the physical conditions are different for these two cloud clusters. The comparison shown in the paper provides a physical basis for nowcasting heavy rainfall in a small area.

**Key words:** meso- $\beta$  scale; cloud cluster; rainfall.

甲  
乙  
丙

地球科学与技术